

# Problema do Caminho Mínimo: Uma Proposta de Paralelização do Algoritmo Dijkstra

Marisangila Alves<sup>1</sup>

<sup>1</sup>Programa de Pós Graduação de Computação Aplicada - PPGCA  
Universidade do Estado de Santa Catarina - UDESC - Joinville - SC - Brasil

marisangila.alves@gmail.com

**Resumo.** *Problemas de computação com tempo de execução e complexidade não linear podem ser otimizados. Dentre esses, o problema do caminho mínimo possui aplicações no mundo real, tal como planejamento de rotas de veículos ou roteamento de pacotes. O algoritmo Dijkstra é uma solução amplamente utilizada em redes de computadores. O presente trabalho apresenta uma análise de implementação de paralelismo no algoritmo Dijkstra a partir de uma metodologia que analisa particionamento, comunicação, aglomeração e mapeamento, que pode ser chamada PCAM. Além disso, a implementação de paralelismo do problema com uso de OpenMP e MPI*

## 1. Introdução

Determinados problemas clássicos da computação de complexidade não linear e não triviais implementados através de lógica sequencial podem ser inviáveis, ou seja, possuem tempo de execução maior do que o aceitável, dado o tamanho da entrada e a escalabilidade do problema. Contudo, é possível reduzir o tempo de execução desses problemas de forma considerável apropriando-se de ferramentas da computação paralela [Cáceres 1192]. Dentre esses problemas, na área da matemática conhecida como teoria de grafos conhecidos, tais problemas podem ser: Grafo Euleriano, Problema das Pontes de Königsberg, Grafo Hamiltoniano, Teorema das Cinco Cores, Problema do Caixeiro Viajante, Problema do Fluxo Máximo e ademais problemas clássicos [da Costa 2011].

Diante de tais problemas, o problema do caminho mínimo é um dos mais simples problemas de fluxo de rede. De forma geral para esse problema o objetivo é encontrar o caminho de menor custo, dado um vértice de origem e um vértice de destino [Ahuja et al. 1995]. O problema do caminho mínimo é considerado importante pelas possibilidades de aplicações práticas. Essas aplicações podem ser: planejamento de rota e tempo de viagens, roteamento e programação de veículos, planejamento de capacidade, expansão de redes de transporte e comunicação, programação de caminhos críticos, problema do caixeiro viajante, problema da mochila e problemas de equilíbrio de tráfego [Glover et al. 1985].

Para resolver o problema do caminho mínimo ao longo dos anos surgiram algumas soluções, sendo elas: Algoritmo de Bellman-Ford, Algoritmo A, Algoritmo de Floyd-Warshall, Algoritmo de Johnson, Algoritmo Viterbi e Algoritmo de Dijkstra. O algoritmo proposto por [Dijkstra 1959] foi primeiro mais eficiente que objetiva resolver o problema em grafos com pesos não negativos. Por sua vez, Dijkstra pode ser utilizado em algoritmos de roteamento de redes de computadores ou e.g. protocolo *Open Shortest Path First* (OSPF) [Kurose 2013].

Diante o exposto o algoritmo Dijkstra sequencial como solução do problema de caminho mínimo é selecionado para uma análise de implementação usando paralelismo.

Assim, o artigo apresenta a definição do problema na Seção 2. A metodologia para implementação do paralelismo é descrito na Seção 3. A implementação, realização e discussão dos testes são descritos nas Seções 4, 5 e 6. A Seção 7 apresenta as conclusões.

## 2. Definição do Problema

O pseudocódigo representa a implementação sequencial do algoritmo de Dijkstra. Durante a primeira etapa os vetores que armazenam as distância de cada vértice para seus adjacentes é inicializado, assim como o vetor que representa os vértices de origem. Sendo assim, para todo vértice  $v$  no grafo  $V[G]$  sendo  $v$  o número de vértices, o vetor de  $d[v]$  é recebe  $\infty$  em todas as posições e o vetor  $\Pi[s]$  recebe  $-1$  em todas as posições, sendo  $s$  o vértice de origem ao vértice  $v$ . O vetor  $d[s]$  recebe 0, pelo motivo de que refere-se a distância de  $s$  para  $s$ , ou seja, ele mesmo.

```

para todo  $v \in V[G]$ 
     $d[v] \leftarrow \infty$ 
     $\pi[v] \leftarrow -1$ 
 $d[s]$ 
 $Q \leftarrow V[G]$ 
enquanto  $Q \neq \emptyset$ 
     $u \leftarrow \text{extrair-mín}(Q)$ 
    para cada  $v$  adjacente a  $u$ 
        se  $d[v] > d[u] + \text{peso}(u, v)$ 
            então  $d[v] \leftarrow d[u] + \text{peso}(u, v)$ 
             $\pi[v] \leftarrow u$ 

```

A segunda etapa é atribuir a  $Q$  o conjunto de vértices  $V[G]$ , no qual esses vértices não possuem menor caminho determinado em  $d[v]$ . Por fim a etapa de relaxamento, enquanto  $Q$  não for vazio são executadas as seguintes instruções:  $u$  recebe o vértice com a menor distância em  $Q$ . Para cada vértice  $v$  adjacente ao vértice  $u$ . Se  $d[v]$  for maior que a soma de  $d[u]$  e pesos do vértice  $u$  até  $v$ . O vértice  $v$   $\Pi[v]$  recebe  $u$ .

Entretanto, o algoritmo sequencial utilizado nesse trabalho, possui adaptações, que podem ser conferidas no código fonte<sup>1</sup>. Para representar o conjunto  $Q$  será utilizada uma estrutura de dados em forma de uma fila de prioridade, que ordena as distâncias de maneira que o menor valor esteja no início da fila de prioridades. Além disso, utiliza uma estrutura de dados em forma de lista, similar a um dicionário, para armazenar os vértices adjacentes e seu custo.

---

<sup>1</sup><https://github.com/marischatten/Dijkstra>

### 3. Metodologia de Projeto de Paralelismo

A metodologia empregada na proposta de paralelização chamada PCAM divide-se nas etapas: Particionamento, Comunicação, Aglomeração e Mapeamento. Nas subseções a metodologia será aplicada ao código descrito na Seção 2.

#### 3.1. Particionamento

O particionamento consiste em fragmentar as operações que compõem a resolução de um problema. A fragmentação pode ser de decomposição de domínios ou decomposição funcional, sendo particionamento de dados e particionamento de operações, respectivamente [Schnorr and Nesi 2019]. Dentre as etapas descritas pelo pseudoalgoritmo é possível particionar o código de acordo com suas etapas, ou seja, a etapa de inicialização das listas de distâncias calculadas e vértices de origem e, um segundo bloco responsável pela etapa de relaxamento. Na etapa de inicialização dos vetores, é possível aplicar particionamento de dados, ou seja, decomposição por domínios, nessa etapa o objetivo é apenas executar uma operação de atribuição de valor a cada posição dos vetores. Sendo assim o particionamento é realizado por células.

Por sua vez, na etapa de relaxamento é possível particionar o problema como decomposição de domínio. Dessa forma, dado um vértice que possua a menor distância de acordo a fila de prioridades existe uma lista de adjacências para o vértice com menor distância. O tamanho da lista relaciona-se diretamente com o tamanho do problema. Portanto, a execução do laço que verifica o custo de cada um dos vértices adjacentes pode ser executado em um tempo de execução não linear. A Figura 6 exemplifica o particionamento, onde cada célula do vetor é atribuído para uma tarefa.

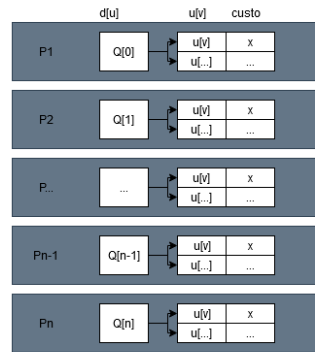


Figura 1. Particionamento do Relaxamento.

#### 3.2. Comunicação

Comunicação é a definição de como tarefas se comunicam entre as partes fragmentas do problema, compartilhando ou não, valores e variáveis [Schnorr and Nesi 2019]. A etapa de inicialização é trivialmente paralelizável, ou seja, não necessita de comunicação entre as tarefas. Cada núcleo recebe um ponteiro e atribuir valor ao endereço de memória apontado. Entretanto, na etapa de relaxamento, é necessária comunicação entre as tarefas. Os vetores  $d$ ,  $\Pi$  e a fila de prioridade  $Q$  devem ser atualizados a cada operação, sendo assim, é necessária comunicação global a partir de *broadcast*, de uma tarefa para

muitas. A comunicação é estruturada, portando, cada tarefa se comunica com as mesma tarefas independente da execução. Além disso, a comunicação pode ser classificada como estática, a representação é dada por uma estrutura fixa. Por fim, a comunicação deve ser síncrona, uma vez que, uma tarefa é concluída, ou seja, executa operações sobre os vetores, essa tarefa precisa enviar uma atualização dos novos valores para todas as outras tarefas. Enfatiza-se que esse comportamento possivelmente pode impactar negativamente no tempo de execução, dado que todas as tarefas param seu trabalho e aguardam a comunicação ser concluída.

### 3.3. Aglomeração

Aglomeração é a avaliação de requisitos de forma a unificar as etapas de particionamento e comunicação [Schnorr and Nesi 2019]. Durante a inicialização não existe comunicação entre as tarefas, portanto, não são necessárias aglomerações, por outro lado, durante o relaxamento, tendo em vista a escalabilidade do problema é necessário aglomerar tarefas. É possível aglomerar as tarefas considerando o número de núcleos existentes, dividindo número total de tarefas pelo número total de núcleos. Isso proporciona redução evidente ao número de comunicações entre as tarefas, entretanto, depende expressamente do *hardware* e tamanho do problema. Todas as tarefas decompostas podem ser executadas em concorrência, contudo, ao concluir a execução cada tarefa deve atualizar valores que devem ser replicados para todas as demais tarefas, essa situação aumenta o número de comunicações e pode prejudicar consideravelmente o desempenho.

### 3.4. Mapeamento

Mapeamento é atribuição das tarefas às unidades de processamento, com intenção de minimizar a comunicação entre tarefas e maximizar o uso de recursos [Schnorr and Nesi 2019]. Para distribuir as tarefas entre partições. São elencadas duas possibilidades, para possíveis critérios de escolha, a primeira considera heurísticas descentralizadas para escalonamento de tarefas, onde os núcleos podem solicitar mais tarefas quando ociosos ou então, o balanceamento de carga como mapeamento cíclico que respeita os blocos criados na etapa de aglomeração.

## 4. Implementação

A implementação de paralelismo seguiu uma abordagem diferente da proposta definida com a metodologia PCAM. Em vez de atribuir o paralelismo ao algoritmo Dijkstra, foi realizado paralelismo direcionado aos dados, ou seja, dado  $(N^2) - N$ , calcular o menor caminho entre os vértices de todos para todos, desconsiderando cálculo de um vértice para ele mesmo. A alternativa deve-se a inviabilidade de paralelizar o algoritmo Dijkstra de forma eficiente, no qual realiza tarefas consecutivamente que não podem ser realizadas de forma concorrente. Sendo assim, o objetivo é preencher uma matriz com o custo mínimo, que representa um grafo completo.

O particionamento na implementação de paralelismo com auxílio do OpenMP<sup>2</sup> considerou a divisão de tarefas através de linhas, ou seja, cada linha da matriz é calculado por uma *thread*. Entretanto, para a implementação através de *Message Passing Interface* (MPI), devido a comunicação entre processos, foi necessário adotar outra abordagem de

---

<sup>2</sup><https://www.openmp.org/>

particionamento. Dessa forma, o particionamento considerou a divisão de tarefas por células.

Para que a comunicação fosse possível, os valores da matriz foram transformados em uma matriz, sendo que cada linha da matriz se refere a um cálculo de caminho e, as colunas armazenam as informações, no qual representam qual origem e destino a ser calculado e o resultado. Por fim, foi necessário converter objeto complexo que compunha a lista de adjacência em um vetor. Contudo, foi fundamental considerar o agrupamento com objetivo de reduzir o número de troca de mensagens entre os processos. Portanto, agrupamento de tarefas foi realizado de acordo com o total de tarefas a serem feitas divididas pelo número de processadores. Finalmente, o mapeamento foi considerado de forma dinâmica através de arquivo de configuração e de acordo com os testes executados. A Seção 6 aprofunda os resultados obtidos.

## 5. Experimentos

A realização de experimento na implementação com auxílio do OpenMP foi realizada com computador C, com 10 execuções por parâmetro. A execução dos testes da paralelização que utiliza MPI foi realizada em todos os computadores, com 5 execuções por parâmetro, através da biblioteca OpenMPI<sup>3</sup>. Ambas abordagens foram codificadas em linguagem de programação C++.

O comparação de ambas versões paralelizadas são comparadas com o mesmo código sequencial. Entretanto, para implementação com MPI foi necessário alterações consideráveis no código em relação ao código sequencial. A Tabela detalha a configuração do *hardware* em que os experimentos foram executados. A entrada de dados, ou seja, a lista de adjacência foi realizada a partir da leitura um arquivo de texto, com a ressalva de considerar o tempo de leitura do arquivo durante a execução total e, além disso, destaca-se a heterogeneidade do *hardware*. A aceleração foi obtida através do tempo de execução serial em segundos dividida pelo tempo de execução paralela em segundos.

		Núcleos	HiperThreading	Frequencia	Cache	Modelo
A/B	ens1/ens2	4	Não	2.8 GHz	512 KB	AMD Phenom(tm) II X4 B93 Processor
C	ens4	4	Sim	3.4 GHz	8 MB	Intel(R) Core(TM) i7-4770 CPU @ 3.40GHz
D	ens5	4	Sim	3.5GHz	8 MB	Intel(R) Xeon(R) CPU E3-1230 v6 @ 3.50GHz

Figura 2. Hardware utilizado para testes.

## 6. Discussão

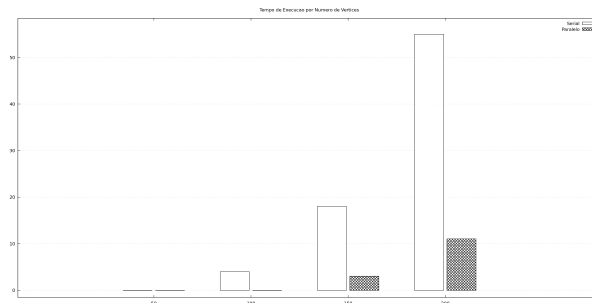
Essa seção apresenta a análise e discussão dos resultados oriundos dos testes realizados.

### 6.1. OpenMP - Escalabilidade de entrada de dados

A Figura 3 apresenta a comparação de tempo de execução em segundos entre execução serial e paralela em relação ao tamanho da entrada. Foram realizadas 10 execuções por número de vértices, e extraída média aritmética. É possível observar que o ganho de desempenho para poucos dados não difere-se entre o código serial e o código paralelo. Entretanto, para entrada de dados maiores, o código paralelo destaca-se em relação ao

<sup>3</sup><https://www.open-mpi.org/>

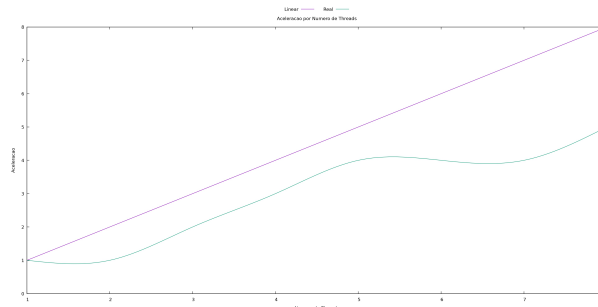
código serial. Sobretudo, o resultado destaca e justifica a necessidade de paralelização para esse problema, para que seja possível proporcionar escalabilidade em versões maiores deste problema.



**Figura 3. Escalabilidade de entrada de dados.**

### 6.1.1. OpenMP - Aceleração

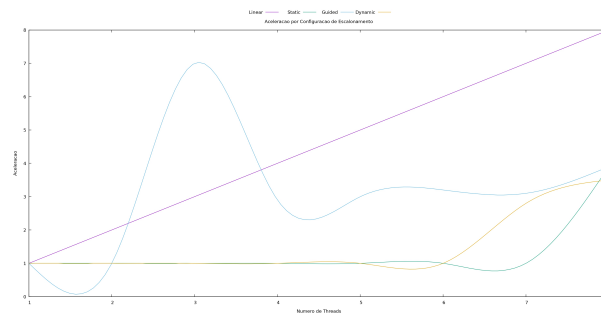
A Figura 4 apresenta o aceleração em função do número de *threads*. O resultado demonstra que ganho de aceleração com número de *threads* próximas ao total de núcleos físicos, e apresenta desaceleração ao ultrapassar o número de núcleos físico. Entretanto, a execução com 8 *threads* retoma a aceleração. Esse comportamento pode ser explicado considerando o impacto na variabilidade de estado do *hardware*, como a carga ou execução de outras aplicações.



**Figura 4. Aceleração com auxílio OpenMP.**

### 6.1.2. OpenMP - Aceleração por Escalonamento

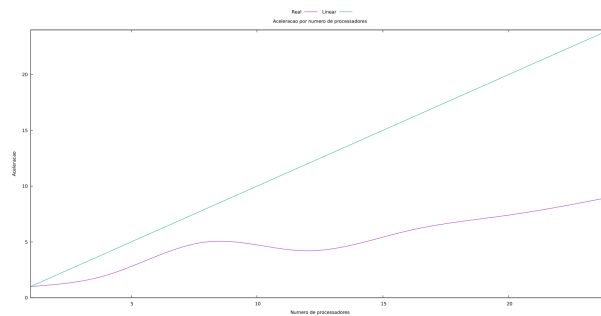
A Figura 5 apresenta a aceleração obtida com variação ao número de *threads* e configuração de escalonamento. É observável que o escalonamento guiado que desempenho super linear com menor número de *threads* e reduz ao ultrapassar o número de núcleos físicos. Por outro lado, o escalonamento estático e dinâmico demonstra comportamento parecido, ambos não apresentam ganho de aceleração em relação ao código serial. Este comportamento irregular pode ser decorrente de uma possível concorrência com outra aplicação.



**Figura 5. Aceleração com auxílio do OpenMP com diferentes configurações de escalonamento.**

## 6.2. MPI: Aceleração

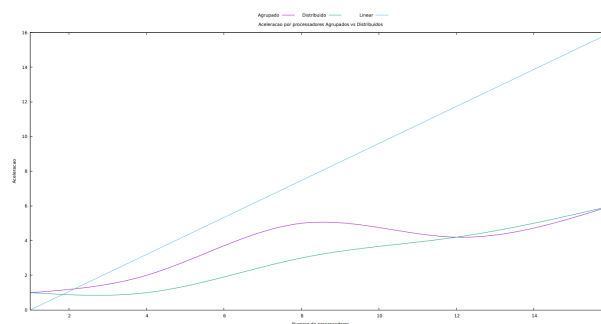
A aceleração foi calculada a partir do tempo de execução serial em segundos dividido pelo tempo de execução paralela em segundos. Essa aceleração obtida através de MPI é melhor que a obtida através do auxílio de OpenMP. Contudo a aceleração cresce quando os processos estão alocados nos mesmos computadores, a medida que possuem mais processos distribuídos entre os demais computadores, devido a comunicação a aceleração reduz seu crescimento.



**Figura 6. Aceleração com uso de OpenMPI.**

## 6.3. MPI - Aceleração com Processadores Agrupado e Distribuídos

A relevância da etapa de mapeamento fica evidente a partir da curva de aceleração obtida, como visto na Figura 7.



**Figura 7. Aceleração com Processadores Distribuídos.**

Na execução onde os processos são agrupados por computador, a aceleração obtida inicialmente é maior em relação a aceleração obtida na execução com processos distribuídos uniformemente entre os computadores. Por outro lado, ambas execuções a demonstram estabilidade quando aumenta o número de processadores, ou seja, quando não é possível agrupar os processadores em um único computador.

Processadores	4	8	12	16
Processadores Agrupados				
A	4	4	4	4
B	0	4	4	4
C	0	0	4	4
D	0	0	0	4
Processadores Distribuídos				
A	1	2	3	4
B	1	2	3	4
C	1	2	3	4
D	1	2	3	4

A Tabela apresenta as configurações utilizadas durante a execução de testes, em relação ao mapeamento de processos.

## 7. Considerações

O presente trabalho apresentou uma proposta de paralisação para o algoritmo Dijkstra, que é uma solução para o problema do caminho mínimo. Baseando-se na metodologia de análise de paralelização de algoritmos. Dessa forma a implementação através do auxílio de OpenMP e MPI foi realizada considerando a entrada de dados com objetivo de calcular o menor caminho entre os vértices, considerando obter o resultado de todos os vértices para todos os vértices. A primeira proposta definida através da metodologia PCAM não apresentou viabilidade, sendo assim, abordagens diferentes foram implementadas em ambas ferramentas. Por fim, a paralelização através de MPI apresentou maior aceleração em relação a implementação em OpenMP, sendo praticamente o dobro de melhora, apesar das alterações realizadas e o aumento em linhas de código para o MPI. Além disso, ficou evidente a importância do mapeamento para comunicação entre processos próximos em multicomputadores. Por fim, a implementação que utilizou auxílio do OpenMP destacou-se pela sua trivialidade de implementação comparado a implementação que utilizou MPI.

## Referências

- Ahuja, R. K., Magnanti, T. L., Orlin, J. B., and Reddy, M. (1995). Chapter 1 applications of network optimization. In *Network Models*. Elsevier.
- Cáceres, E. N. (1192). *Algoritmos Paralelos para Problemas em Grafos*. PhD thesis, Universidade Federal do Rio de Janeiro.
- da Costa, P. P. (2011). *Teoria de Grafos e suas Aplicações*. PhD thesis, Universidade Estadual Paulista “Júlio de Mesquita Filho”.
- Dijkstra, E. W. (1959). A note on two problems in connexion with graphs. 1:269–271.
- Glover, F., Klingman, D. D., Phillips, N. V., and Schneider, R. F. (1985). New polynomial shortest path algorithms and their computational attributes. *Management Science*, 31(9):1106 – 1128.
- Kurose, R. (2013). *Redes de computadores e a internet*. Pearson.
- Schnorr, L. and Nesi, L. L. (2019). Capítulo 2 projetando e construindo programas paralelos. In *Escola Regional de Alto Desempenho da Região Sul*.